

中国土木工程学会1962年年会

論 文 选 集

—建筑結構部分—

(内部資料)

中国土木工程学会編

一九六二年十二月

前 言

本选集共收集了二十三篇論文。这些論文是本会第三屆代表大会的重点交流資料。其中有几篇已在土木工程学报等刊物上发表了，但为了交流經驗，便于同志們了解中国土木工程学会第三屆代表大会及1962年年会的主要論文的全貌和便于檢閱，所以仍編在本选集中。北京市土木建筑学会編写的《单层工业厂房屋盖系統經驗資料》，因已印发单行本，所以未列入。

本选集的大部分論文，在会后又由作者重新作了必要的补充和修改，这样，論文的质量虽然又有所提高，但仍可能有不妥之处，希讀者批評指正。

中国土木工程学会 1962年12月

目 录

1. 鋼筋混凝土結構在重複荷載下的工作性能 治金工業部建築研究院 (1)
2. 普通鋼筋混凝土構件的抗熱性能 治金工業部建築研究院 (60)
3. 集中荷載作用下剪跨與配筋率對抗剪承載能力的影響 治金工業部建築研究院 (84)
4. 對單層工業厂房屋蓋系統的改進意見 建築工程部北京工業建築設計院 陶逸鍾 (126)
5. 非預應力鋼筋混凝土多邊形屋架次應力分析及加固研究 陝西省建築科學研究院 (135)
6. 上海市預應力鋼筋混凝土調查研究報告 同濟大學 朱伯龍 (165)
7. 電張折線形預應力鋼筋補強鋼筋混凝土梯形屋架 第一機械工業部第一設計院 朱育才、陳爾鑫 (179)
河北省建工廳設計院 譚玉成、韓光震
8. 上海地區裝配式多層工業厂房結構設計總結 建築工程部华东工業建築設計院 (189)
9. 样板結構的試驗研究及其應用 北京市建築設計院、建築工程部北京工業建築設計院 (228)
建築工程部建築科學研究院、清華大學
10. 振動磚板房屋的結構試驗研究和試點工程設計總結 北京市建築設計院 (251)
11. 裝配——正體式鋼筋混凝土圓柱形薄殼的設計和試驗 紡織工業部基本建設設計院 張欽栻、陳維儉 (274)
12. 鋼筋混凝土薄殼結構極限平衡理論的概述 西安冶金學院 陳儒惠等 (284)
13. 鋼筋混凝土連續梁內力重分布的特性和計算 建築工程部建築科學研究院 (298)
14. 迭代法計算多層剛架收斂性的改進 內蒙古工學院 李炳威 (311)
15. 考慮空間工作時單層厂房動力及靜力的合理計算理論 哈爾濱建筑工程學院 王光遠 (318)
16. 鋼筋混凝土梁在撓矩和剪力作用下的強度計算 清華大學 吳柳生、施嵐青 (344)
17. 磚石結構房屋的空間工作 同濟大學 朱伯龍 (357)
18. 磚薄殼調查總結報告 (廣東省部分) 廣東省建工局等 (369)
19. 60M直徑圓形薄殼屋蓋金工車間 新疆建工一師設計院 賴熾金等 (392)
20. 湖南地區磚木結構調查報告 湖南省基本建設局設計院 (403)
21. 昆明地區磚牆高厚比問題的調查、分析 云南省建工廳設計院 (416)
22. 冷卻水塔筒壁附着式操作架施工 水利電力部電力建設研究所 吳革非 (432)
23. 國外建築結構技術的進展 建築工程部技術情報局 喻天璽 (439)

鋼筋混凝土結構在重複荷載 下的工作性能

冶金工業部建築研究院工程結構室*

隨着混凝土在工程界的廣泛應用，很多承受多次重複荷載的結構物，例如，路面，飛機跑道，公路鐵路橋梁，鐵路軌枕，以及工業建築中各種工作制的吊車梁與支承動荷設備的框架式基礎等等，都採用了鋼筋混凝土或預應力鋼筋混凝土結構。這些在重複荷載作用下的結構的性能，肯定不同於一般靜荷下的性能，因此引起了研究者的日益重視。但由於重複荷載試驗研究很費時間，至今資料累積尚不够多，不能得到較系統的結論，同時各研究者在某些觀點上亦尚有不同。我們自57年起，圍繞工業建築中鋼筋混凝土吊車梁在重複荷載下的工作性能，對素混凝土、鋼筋、鋼筋焊接接頭、普通鋼筋混凝土及預應力鋼筋混凝土梁進行較系統的試驗研究，本文所介紹即5年來這些試驗研究的一些成果。為了更好的說明問題，文中並較系統的介紹了已收集到的國內外其他研究者的資料，進行比較。

由於研究工作尚處於初始階段，本文僅系中間報告的簡介，很多未解決的問題，有待繼續進行。

(一) 某些通用符號術語的定義與說明

各種材料及構件在重複荷載下，均具有某些共同的特性。在開始介紹之前，首先對這些特性及採用來表達這些特性的符號術語，加以說明，今后在文內即直接引用不另解釋。

使結構產生疲勞現象的重複荷載常有二種：第一種荷載其數值往往是常數，而由於結構本身轉動，因此產生疲勞現象，如機械中的轉軸，這種荷載稱之為迴轉重複荷載；

* 本文系由冶金建築研究院的6篇試驗研究報告摘錄組成，原報告為：

- (1) 冶金建築研究院焊接組、厂房組：鋼筋疲勞性能研究
- (2) 冶金建築研究院焊接組、厂房組：重複荷載下鋼筋焊接疲勞性能
- (3) 陳三行：素混凝土疲勞性能研究
- (4) 張懷余、陳三行、張樹平：普通鋼筋混凝土受彎構件在重複荷載下的工作性能
- (5) 朱君道：鋼絲束預應力混凝土薄壁吊車梁研究
- (6) 陳三行：後張法粗鋼筋預應力吊車梁的試驗研究

本文執筆者：張懷余 陳三行

第二种结构本身不动，而沿某一方向作用的荷载值为重复变数，如一般工程结构吊车梁等所承受的，这种荷载称之为直接重复荷载。本文所讨论范畴仅限直接重复荷载。

材料及结构在重复荷载作用下其破損时强度将大大低于静荷强度，其破損时强度与静荷强度相較即称之为疲劳强度折减系数 $k_y(\gamma_a)$ ，此时，以 $R'_a, R'_u, R'_p \dots$ 等来代表材料的疲劳强度。

材料在重复荷载作用下往往产生二部分变形，第一部分变形为卸荷后即可恢复者称之为弹性变形 ϵ_y ，第二部分变形为卸荷后不可恢复者称之为残余变形 ϵ_{ocx} 。混凝土的残余变形特别显著，故在某一重复应力 σ_E 下，常取用其变形模量 $E'_E = \frac{\sigma_E}{\epsilon_y + \epsilon_{ocx}}$ 来表达其应力应变关系。

在重复荷载作用下的结构性能，往往随荷载特征的影响而变化，荷载特征一般指下列三种：

重复荷载变化幅度，由最大荷载 P_{max} 与最小荷载 P_{min} 来规定。此时在结构中相应产生的最大应力为 σ_{max} ，最小应力为 σ_{min} 。常用二种型式来表达：第一种用应力循环特征

$$\rho = \frac{\sigma_{min}}{\sigma_{max}}; \text{ 第二种用平均应力 } \sigma_{cp} = \frac{\sigma_{max} + \sigma_{min}}{2} \text{ 及应力幅度 } \sigma_a = \frac{\sigma_{max} - \sigma_{min}}{2}$$

(如图1所示)。 ρ 值变化幅度自-1至+1。

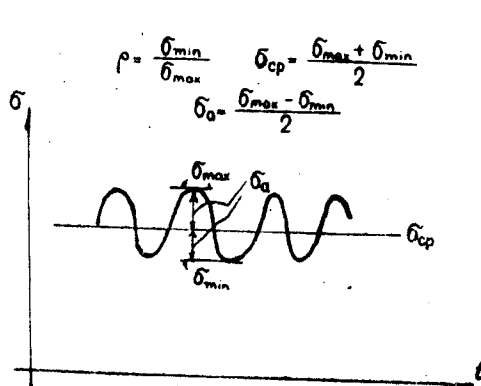


图1 荷载—时间图

重复荷载频率θ次/分钟或赫芝(赫芝为次/秒)。

重复荷载作用次数为 N 。某些材料(如钢材)随着 N 的增加，其疲劳强度逐渐降低，但降低到一定程度后即趋于稳定，此时 N 再增大强度就不再下降。某些材料(如混凝土)其强度随 N 增加而降低，但没有稳定值，此时只能取工程结构中重复荷载可能发生的实际次数来求得其相应的性能，称之为在此重复基数下的相对疲劳性能。例如：铁道桥梁以200万次为基数，重级制吊车梁根据我们调查则以400万次为基数⁽¹³⁾。

(二) 钢筋在重复荷载下的性能

1. 国内外研究资料介绍

研究金属在重复荷载下的性能，至今已有近二百年的历史。但大部分试验研究均为解决机械零件、钢结构等问题，钢筋的疲劳以及钢筋埋入混凝土中的工作性能，研究尚未详尽。且各国钢筋的材质外型都不一致，其研究结论很难直接引用。

德国、瑞士等国在1930年左右开始陆续进行过钢筋的试验。试件均采用自由钢筋*，

* 指不埋入混凝土的直钢筋。

荷載為受拉重複荷載，所試鋼筋為歐洲國家常用品種：St37, St52, Tor40, Tor60，鋼筋均用原來外型，不另加工，試驗基數為100~200萬次。茲舉三個較典型的試驗結果：

(1) 洛斯 (RöS) 的結果⁽¹⁾，用古特曼圖表示如圖2。

(2) 葛立夫 (O. Grof)⁽¹⁾ 的試驗結果如表1。

(3) 葛立夫⁽¹⁾ 曾做過冷強對鋼筋疲勞強度的影響如表2。

他由上表得出結論：適當的冷強可增加鋼筋的抗疲勞強度絕對值，但冷強不宜過度，否則會導致抗疲勞強度絕對值的降低。

蘇聯И.Л.柯爾欽斯基⁽²⁾ 總結了5個研究者的資料，繪出了流限為22~26kg/mm²的軟鋼（相當於鋼3）疲勞極限圖如圖3（圖中並列入了斯特列律斯基的資料）。

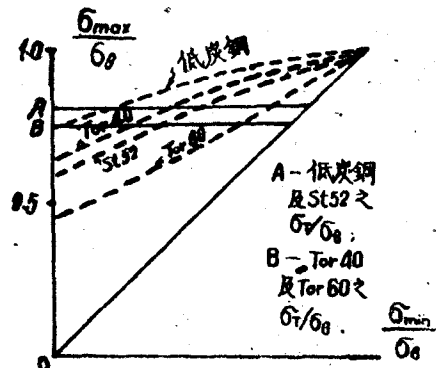


圖2 洛斯試驗結果之古特曼圖

表1

鋼筋疲勞試驗結果⁽¹⁾

編號	類型	σ_x (kg/cm ²)	σ_0 (kg/cm ²)	$\rho=0, n=10^6$ σ_{max} (kg/cm ²)	σ'_{max}/σ_0	σ_{max}/σ_x
1	St37 {	2,740	4,150	2,880	0.695	1.05
2		2,320	3,520	2,180	0.620	0.94
3		3,800	6,330	3,380	0.534	0.89
4	St60 {	3,800	6,120	3,310	0.540	0.87
5		3,520	5,500	3,380	0.615	0.96
6		3,940	5,560	3,800	0.684	0.97

冷強對鋼筋疲勞性能影響的試驗資料⁽¹⁾

表2

鋼材	冷加工情況	σ_x (kg/cm ²)	σ_0 (kg/cm ²)	$\rho=0$ σ_{max} (kg/cm ²)	σ_{max}/σ_0	σ_{max}/σ_x
St37 $n=10^6$	未冷加工	2,320	3,600	1,970	0.55	0.85
	冷拉8%，時效8天	4,000	4,370	2,960	0.68	0.74
	冷拉8%，時效3月	4,300	4,860	3,170	0.65	0.74
	冷拉8%，時效1年	4,100	4,650	3,100	0.67	0.76
扭耳鋼筋 $n=2 \times 10^6$	未經冷強	2,610	4,160	2,400	0.58	0.92
	扭矩 12.9d	4,300	5,210	2,820	0.54	0.65
	扭矩 9.4d	4,800	5,780	2,820	0.49	0.58
	扭矩 4.6d	5,850	6,550	2,320	0.35	0.40
	扭矩 3.3d	6,480	7,100	2,120	0.30	0.32
	扭矩 2.6d	6,760	7,050	1,830	0.26	0.27

圖3所示均系採用加工後的鋼材試件試驗結果，故與前述德國資料中所介紹的類似鋼材St34~37相較，結果一般偏高。蘇聯“標準軌距鐵路橋涵設計技術標準(ТУПМ-56)”中採用光面鋼3鋼筋的疲勞計算強度低于此值，但尚未見其原始試驗資料。

馬泰洛夫 (И.А. Матолов)⁽³⁾ 以直徑為28mm的光面鋼5鋼筋以及用同樣材料加工成

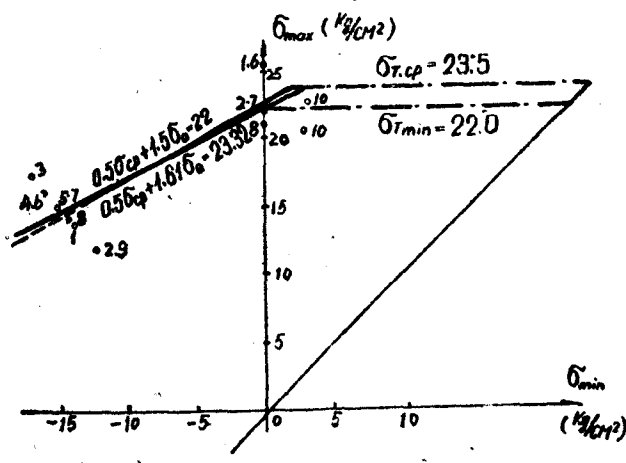


图 3 流限为22—26kg/mm²軟鋼疲勞极限古特曼图

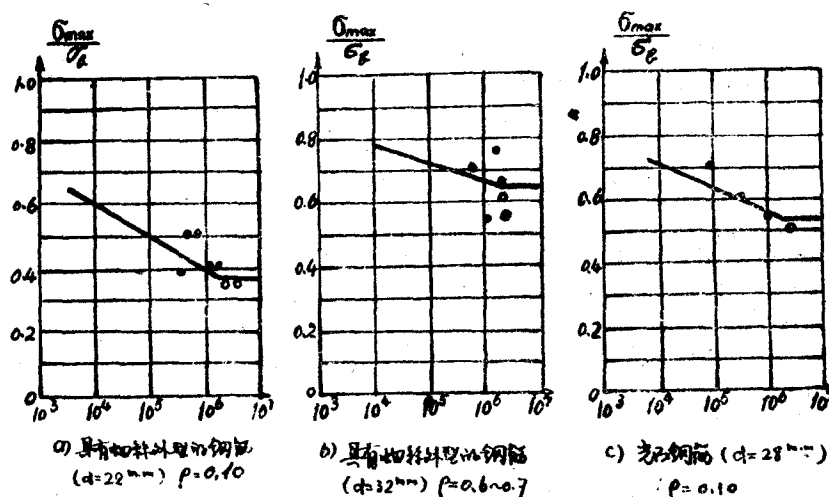


图 4 鋼 5 鋼筋疲勞曲綫

强度极限值约为静荷极限强度的 0.36~0.4。

苏联柯勃令 (М. М. Кобрин)⁽⁶⁾ 在研究钢筋重复荷载试验的夹具型式时所得钢 5 及 25 锰硅钢筋疲劳曲线，因未列出其与静荷强度的对比值，不能下结论。但从其所得资料中对比可得以下看法：钢筋直径对其疲劳强度影响不大，当 $P = 0.25$ ， $N = 2 \times 10^6$ 时，对于具有相同外型的钢 5 钢筋试件，直径 $d = 14 mm$ 者， $\sigma_{max} = 2,010 \text{ kg/cm}^2$ ，直径 $d = 20 mm$ ， $\sigma_{max} = 1,800 \text{ kg/cm}^2$ ；直径 $d = 28 mm$ ， $\sigma_{max} = 2,200 \text{ kg/cm}^2$ 。对 25 锰硅钢筋直径 $d = 12 mm$ 者， $\sigma_{max} = 2,300 \text{ kg/cm}^2$ ； $d = 22 mm$ 者， $\sigma_{max} = 2,400 \text{ kg/cm}^2$ 。但这方面意见尚存在若干分歧，某些研究者从“应力梯度”假设出发，认为直径大小所形成的尺寸影响因素，在回转重复荷载试验时较显著；直接拉压试验时对光面圆试件影响很小，

直径为 22mm 螺丝外型的钢筋进行试验，其结果如图 4。

马泰洛夫具有螺丝外型钢筋的试验值，较诸光面钢筋试验值降低很大，说明了由于应力集中的原因钢筋外型对其疲劳强度影响很大。但其试验未采用原钢 5 热轧螺纹型式，很难代表一般钢 5 螺纹钢筋的原始疲劳性能。

苏联全苏运输建筑研究院⁽⁵⁾对钢 5 热轧螺纹钢筋的重复荷载试验，因钢筋大部分断在试验机夹具以内，不能得出结论。对 25 锰硅热轧钢筋所作试验，当 $P = 0.15$ 时，其趋于稳定的疲劳

直接拉压試驗时对外型不平整的試件，当缺口轉角与試件尺寸的比例在一定範圍以內时，影响亦不大。

特米德列也夫 (С.А.Дмитриев) 与穆林 (И.М.Мулин) 对鋼5光面鋼筋及冷压規律变形鋼筋試驗結果⁽⁷⁾說明冷压規律变形鋼筋疲劳强度很差，当 $P=0.15$ 、 $N=2\times 10^6$ 时，冷压鋼筋的疲劳强度只有光面鋼筋的76%。

國內建工部建築研究院會进行了冷拉5.5%的鋼5鋼筋重复荷載試驗⁽⁸⁾，但未得系統結論，且采用加工后的試件进行試驗的，其疲劳强度将大于实际螺紋鋼筋。該院并曾进行过二根配置冷軋鋼3鋼筋小梁試驗⁽⁹⁾，其結論认为冷軋鋼筋的抗疲劳性能不好。

近年来預应力鋼筋混凝土結構得到广泛应用，各国均对預应力用的高强鋼絲高、強鋼筋进行了疲劳試驗。德国列昂哈特 (Leonhardt) 的資料⁽¹⁰⁾列于表3。

德国高强鋼絲的疲劳强度⁽¹⁰⁾ $N=2\times 10^6$

表 3

鋼絲類型	σ_8 (kg/mm ²)	P	σ_{max} (kg/mm ²)	σ_{min} (kg/mm ²)	σ_{max}/σ_8
St140/160冷拔鋼絲，Φ5	160	0.74	113	84	0.71
St140/160冷拔鋼絲，Φ8	160	0.75	120	90	0.75
St140/150冷拔鋼絲，經熱處理Φ5	150	0.72	112	74	0.74
St145/160經熱處理的鋼絲，Φ5.2	160	0.76	119	90	0.74
St145/160帶肋變形鋼絲， $F_a=20mm^2$	160	0.78	116	90	0.73
St200刻痕冷拉鋼絲Φ4	200	0.78	128	100	0.64
St250刻痕冷拉鋼絲Φ2	250	0.70	173	125	0.71
7股鋼紋線，由St160/180的Φ3鋼絲制成	180	0.78	115	70	0.71

英國倍脫 (S.C.C.Bate)⁽⁴⁾ 进行了以高强鋼絲配筋的先張預应力小梁的試驗，其鋼絲疲劳强度的結果如表4所示。

英國高强鋼絲預应力梁的疲劳試驗結果⁽⁴⁾ ($N=1\times 10^6$)

表 4

鋼絲類型	σ_8 (kg/mm ²)	P	σ_{max} (kg/mm ²)	σ_{min} (kg/mm ²)	σ_{max}/σ_8
Φ5光面無銹痕	162~173	0.67~0.69	120~145	81~99	0.67~0.69
Φ5光面有輕微銹痕	159	0.72	119	86	0.72
Φ5變形鋼絲	172	0.75	113	83	0.75
Φ5變形鋼絲	175	0.79	115	88	0.77
Φ5變形鋼絲	164	0.71	121	85	0.71
Φ5變形鋼絲	164	0.75	116	86	0.75
Φ5變形鋼絲	173	0.70	124	86	0.70

倍脫認為變形鋼絲疲勞強度較差，而光面鋼絲無銹痕者在破損時鋼絲滑動錨着不够，光面鋼絲有輕微銹痕者錨着好，在重複荷載下輕微銹痕時疲勞強度亦無顯著影響。

蘇聯米哈依洛夫 (К.В.Михайлов)⁽¹¹⁾ 得出高強鋼絲在 $N=200$ 萬次時的疲勞折減系數 (見表5)。他的試驗同時表明，光面鋼絲試件在構件中的疲勞強度與單獨自由試件相同，變形鋼絲試件在構件中的疲勞強度高於單獨自由試件。變形鋼絲疲勞強度

苏联高强钢丝疲劳试验值^[11]

表 5

钢丝类型	不同 ρ 值时的 $k_y = \frac{R_{BH}}{R_H^H}$ ($N = 2 \times 10^6$)			
	0.75	0.8	0.85	0.9
FCCT7348-55光面钢丝	0.65	0.70	0.75	0.80
FCCT8480-57变形钢丝	0.55	0.60	0.70	0.75

虽较光面钢丝低一些，但考虑其握裹力好，建议优先采用。试验证明在张拉的允许范围内，提高张拉力能提高钢丝疲劳强度。

综合以上资料可得如下一些看法：

(1) 钢筋在重复荷载下其极限强度降低很多。降低后的绝对值及其与静荷极限强度的比值 γ_a ，取决于重复次数 N ，应力循环特征 ρ 。

(2) 钢筋的外型对其疲劳强度有显著影响，如钢材材质相同时螺纹外型的钢筋的疲劳强度低于光面钢筋者。

(3) 适当的冷强且不改变表面外型的应力集中因素者，可以提高钢筋疲劳强度的绝对值，但过度冷强或与冷强同时增大外型的应力集中因素时，反将降低钢筋的疲劳强度。

由国内外已有资料来看，类似于光面钢3钢筋的平试件试验值比较多，按苏联铁路桥涵设计技术标准(ТУПМ-56)中规定值取用是偏于安全的。高强钢丝我国尚无统一的产品标准，目前用量亦不大，疲劳强度可暂参考苏联米哈依洛夫资料取用。但对我国常用的钢5及25热轧硅螺纹钢筋，以及冷拉钢5及25硅热轧螺纹钢筋则尚缺乏资料，故我们的试验即集中于这两类的钢筋。

2. 冶金工业部建筑研究院对钢5及25硅热轧螺纹钢筋试验的结果

我们所作试验的试件在两夹具之间采用5钢及25硅热轧螺纹钢筋的原来外型，不另加工，以免钢筋外型应力集中条件的改变影响其真实的疲劳性能；冷拉钢筋亦如此。钢5冷拉率为5.5%，25硅冷拉率为3.5%。试验用的钢5及25硅其化学成分与力学性能均符合相应标准一级品的要求，详见表6。

试验中采用的应力循环特征力求与实际吊车梁结构中相符合，所用 ρ 值如表7。

试验重复次数，考虑到一般碳素钢及合金钢在重复荷载下均具有一定疲劳极限值，故不采用任何重复基数，而以求得稳定的疲劳极限值为准，因此 N 最大曾达 1,000 万次以上。

试验速度 θ 在一定范围以外对钢材疲劳强度将有影响。 θ 较大时疲劳强度将提高； θ 过大时又会使疲劳强度降低。但根据碳素钢及合金钢试验资料^[12]，当采用回转疲劳试验时，影响较显著，采用拉压疲劳试验时，影响较小。一般认为速度在 10,000~7,000 次/分钟以内时影响不大。我们为了节约时间，利用瑞士 Amsler 高频脉冲疲劳试验机， θ 取 10,000 次/分钟左右，限于高频试验机最大拉力为 10 T，故试验均用 $\phi 10 \sim \phi 16$ 小直径钢筋原型试件。

表 6a

試驗用鋼 5 及 25 錳硅熱軋螺紋鋼筋的化學成分及其規定標準(%)

鋼筋類型	C	Si	Mn	S	P
鋼 5 試件	0.29~0.31 (個別0.26)	0.17~0.24	0.58~0.69	0.007~0.009 (個別0.041)	0.037~0.042 (個別0.021)
冶金部部標標準(重4-55)規定	0.28~0.37	0.17~0.35	0.50~0.80	≤0.055	≤0.05
25 錳硅試件	0.24~0.29	0.63~0.73	1.63~1.72	0.047~0.048	0.019~0.027
ГОСТ7314-55規定	0.20~0.29	0.60~0.90	1.2~1.6	≤0.05	≤0.05

試驗用鋼 5 热軋螺紋鋼筋靜力性能(平均值)及其規定標準

表 6b

	σ_T (kg/mm^2)	σ_σ (kg/mm^2)	δ_{10} (%)	δ_5 (%)
鋼 5 試件 (Φ16)	34.9 (-3~+3.5%)	54.1 (-2.5~+2.6%)	22.6	26.1
鋼 5 試件 (Φ10)	35.41	58.68	24	26
冶金部部標標準(重38-55)規定	≥28	≥50	≥14	—

試驗用25錳硅熱軋螺紋鋼筋靜力性能(平均值)及其規定標準

表 6c

	σ_T (kg/mm^2)	σ_σ (kg/mm^2)	δ_{10} (%)	δ_5 (%)
試件	45.9 (-4~+4.4%)	68.8 (-2.6~2.1%)	20.04	25.65
ГОСТ7314-55規定	≥40	≥50	—	≥14

鋼筋母材疲勞試件歸類

表 7

試件類型	直徑 (mm)	ρ	說明
鋼 5 鋼筋, 未經冷拉者	16	0.1	相等子普通鋼筋混凝土吊車梁工作條件
25 錳硅鋼筋, 未經冷拉者	12	0.1	相等子普通鋼筋混凝土吊車梁工作條件
		0.8	相等子預應力鋼筋混凝土吊車梁工作條件
鋼 5 鋼筋, 冷拉5.5%者	10	0.7	相等子預應力鋼筋混凝土吊車梁工作條件
	10	0.1	校核冷強對疲勞影響
25 錳硅鋼筋, 冷拉3.5%者	12	0.1	校核冷強對疲勞影響
	12	0.7; 0.8; 0.9	相等子預應力鋼筋混凝土吊車梁工作條件
	32	0.8	同上, 校核粗直徑影響
鋼 5 鋼筋, 未經冷拉者	16	0.1	校核頻率(?)改變影響
25 錳硅鋼筋, 未經冷拉者	12		

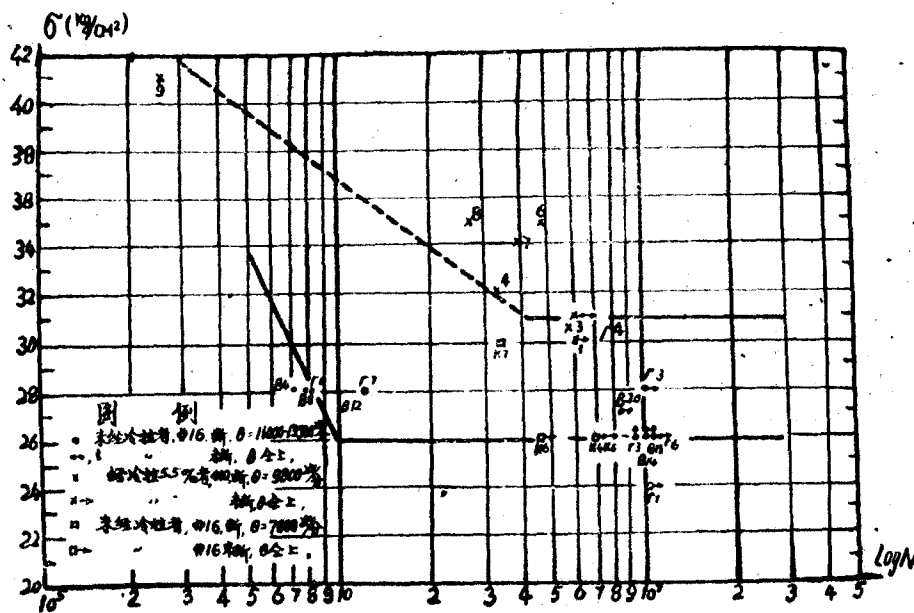
1) 鋼 5 热軋螺紋鋼筋試驗結果

當 $\rho = 0.1$ 時, Φ16 鋼 5 热軋螺紋鋼筋疲勞試驗數據詳見表 8 及圖 5。

直徑Φ16未經冷拉的鋼5熱軋螺紋鋼筋疲勞試驗結果 ($\rho = 0.1$)

表 8

試件編號	疲 劳 試 驗				斷裂情況
	$\sigma_{max}(kg/mm^2)$	$\frac{\sigma_{max}}{\sigma_0}$	重複次數 ($N \times 10^4$ 次)	頻率 (万次/分)	
F5	32	0.616	55.5	1.25	斷在正中間
F4	30	0.568	732.5	1.25	斷在中間偏下
F2	28	0.53	81.6	1.15	斷在中間偏下
F8	28	0.53	1054	1.3	未斷
F7	28	0.53	125.1	1.3	斷在中間
B4	28	0.522	71.5	1.25	斷在中間偏上
B8	28	0.522	81	1.25	斷在中間偏上
B20	27	0.504	833	1.35	未斷
B12	27	0.504	101.6	1.3	斷在中間
F3	26	0.492	956.5	1.1	未斷
F6	26	0.492	1112	1.1	未斷
B18	26	0.485	1087.7	1.3	未斷
B14	26	0.485	1021.5	1.3	未斷
F1	24	0.454	1041.9	1.15	未斷
201	24	0.438	1121.4	1.15	未斷

图 5 钢5热轧螺纹钢筋的疲劳曲线图 ($\rho = 0.1$)

經疲勞試驗未斷的某些試件，在重複荷載試驗後，再加工成標準試件以進行靜力試驗。靜力試驗結果試件完全呈塑性破壞，可知該鋼筋確實未到疲勞狀態。標準試件的流限與極限強度有所提高，這是由重複荷載對鋼筋冷強的結果。試驗結果見表 9。

經疲勞試驗未壞的試件靜力試驗結果

表 9

試件 編號	靜力力学性能					重複荷載 試驗后試 件的加工	重複荷載試驗后靜力試驗結果*					
	σ_s kg/mm^2	σ_x kg/mm^2	δ_{10} (%)	δ_5 (%)	ϵ_p (%)		σ_s kg/mm^2	σ_x kg/mm^2	δ_{10} (%)	δ_5 (%)	ϵ_p (%)	
F-8	34.23	52.74	—	—	—	由Φ16加工 成圓柱體試件 Φ13.2	38.4 112.4	58.1 110	25.3	27.16	23.5	塑性破壞
B-18	34.13	53.61	25	28.75	21.25	由Φ16加工 成圓柱體試件 Φ11.8	37.05 108.6	55.72 106	15 60	—	—	塑性破壞
B-20	34.13	53.61	25	28.75	21.25	由Φ16加工 成圓柱體試件 Φ12.4	37 108.6	55.4 103.4	23.75 95	28.7 97.5	18.8 88.5	塑性破壞

* 分母表示與同組試件靜力力学性能的比值 (%)。

所有動載下斷裂的試件，其破壞均始於鋼筋螺紋或縱向肋條轉角的根部，說明鋼筋螺紋外形造成了鋼筋的應力集中，致使該處首先產生裂縫；而在荷載不斷重複時使裂縫擴展。破壞後截面顯示在螺紋根部形成明顯的疲勞核心。

由圖5可得當 $P=0.1$ 時鋼5螺紋鋼筋的疲勞強度極限可取 $26kg/mm^2$ ，故其折減系數 γ_a 為0.49。考慮到重複荷載試驗數據的離散性，螺紋鋼筋直徑的可能影響等等，建議採用 $\gamma_a=0.4$ 。

2) 25鑄硅熱軋螺紋鋼筋試驗結果。

當 $P=0.1$ 時，25鑄硅熱軋螺紋鋼筋的疲勞試驗數據如表10，其疲勞曲線如圖6所示。

直徑Φ12的25鑄硅螺紋鋼筋疲勞性能試驗結果 ($P=0.1$)

表 10

試件 編號	疲 力 試 驗				斷 裂 情 況
	σ_{max} kg/mm^2	$\frac{\sigma_{max}}{\sigma_s}$	重複次數 $N \times 10^4$ (次)	頻率 (萬次/分)	
A7	41	0.585	16.7	1.05	斷在正中，偏上
A1	35	0.5	33.7	1.05	斷在正中，偏上
A11	34	0.485	231.9	1.05	斷在正中，偏上
A3	33	0.471	475.8	1.05	斷在正中間
Y5	32	0.46	82.4	1.07	斷在正中間
Y7	32	0.46	134.3	1	斷在正中間
Y9	32	0.46	60	1	斷在正中間
A13	32	0.456	1008.1	1.05	未斷
A15	32	0.456	504.5	1.05	斷在中間
A16	31.5	0.45	277.6	1.05	斷在中間
Y1	31	0.446	892.3	1.3	未斷
Y3	31	0.446	1000	1	未斷
A5	31	0.442	1000	1.05	未斷
A9	30	0.428	905.8	1.05	未斷
3	27	0.414	1003	1	未斷

經動載試驗1,000萬次未斷的Y3試件，加工成Φ8的標準型試件，再以靜力試驗測定其性能的變化，其結果如表11所示。

由表11也可看出重複動載對鋼筋的冷強作用，因此強度（特別是流限）提高，塑流

减少，故表中包括缩颈在内的拉断时的 δ_{10} 大大降低；由于强度极限也有提高，故相对均匀变形也稍有提高。

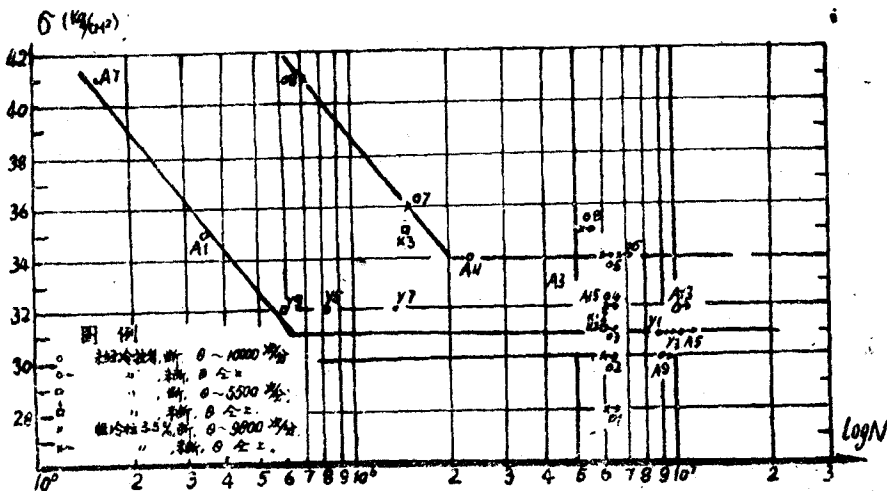


图 6 直径为12mm的25锰硅螺纹钢筋的疲劳曲线 ($P = 0.1$)

Y3試件動載試驗後靜力拉斷與一次靜力試驗結果的比較

表 11

項	試驗名稱	σ_z (kg/mm^2)	σ_e (kg/mm^2)	δ_{10} (%)	δ_5 (%)	δ_p (%)
1	一次靜力試驗	47	69.5	21.5	25	18
2	動載試驗後的靜力試驗	56.47	75.4	15.6	22.5	8.7
3	動載試驗後的靜力試驗為一次 靜力試驗的百分比 (%)	112	108.5	72.5	90	48.3

由图 6 得出Φ12的25锰硅热轧螺纹钢筋当 $P = 0.1$ 时其疲劳极限为 $31 kg/mm^2$ ；则其疲劳折减系数 γ_a 为 0.44。建议取 $\gamma_a = 0.35$ 。

25锰硅钢筋也有可能利用到预应力混凝土中，故我们又以 $P = 0.8$ 及 0.9 作了若干试验，数据如表 12 所示。

从表 12 可知，当 $P = 0.8$ 时，以 $\sigma_{max} = 36.6 kg/mm^2 = 0.53\sigma_e$ 的重复荷载经 400 万次没有达到疲劳状态，其静力极限强度与表 6 相比基本上没有变化，流限因冷强而稍有提高。 VII-1 試件静力拉断后表面有多处龟裂，但在 520 万次重复荷载作用后仍保持着足够的拉断延伸率 ($\delta_{10} > 12\%$)，可以保持构件中的应力重分配。当然， $\sigma_{max} = 0.53\sigma_e$ 还不一定是最终的疲劳极限。

当 $P = 0.9$ 、在 $\sigma_{max} = 41 \sim 45.6 kg/mm^2 = 0.6 \sim 0.67\sigma_e$ (相当于 $0.9 \sim 1\sigma_e$) 的情况下，经过 600 万次以上的重复荷载作用以后再进行静力拉断，試件純系塑性破坏。当初試驗时由于螺紋对夹具损伤很大，把钢筋端部打光，但打光以后沒有进行滚压，由于該处断面减少，故断裂都在钢筋端部。局部变形大，相对延伸率有所降低。但从其强度与塑性性能情况看并达到疲劳状态。

未經冷拉的25螺紋鋼筋疲勞試驗及疲勞試驗后的靜載試驗

表 12

試件 編號	折算 直徑 mm	P	動 荷 試 驗				動荷試驗后的靜荷試驗結果				破 壞 特 徵
			σ_{max} kg/mm^2	σ_{max} σ_s	$N \times 10^6$	构件試驗 后 情 況	σ_x kg/mm^2	k_s/mm^2	$\delta_{10}\%$	$\epsilon_p\%$	
VII-1	11.30	0.8	(25.0 27.5)	0.365 0.402	4.000+ 1.200	先以0.55 σ_x 振动400 万次，再以 0.6 σ_x 振动 200万次，未 断	46.5	67.5	13.3	10	脆性破坏。在 断裂面二边表 面上多处龟裂， 裂缝都在螺纹 的根部及螺纹 与肋条相交之 处。
VII-2	11.10	0.8	27.5	0.402	4.000	未断	47.00	68.40	20.8	16.7	有明显缩颈， 塑性破坏， 断在中间处。
VII-3	11.25	0.8	32.0	0.467	4.000	未断	46.00	68.00	20	15	稍有缩颈， 塑性破坏， 断在近中间处。
VII-1	11.2	0.8	34.8	0.504	5.545	未断	48.20	69.00	20.8	13.3	有明显缩颈， 塑性破坏， 断在近中间处。
VII-2	11.3	0.8	36.6	0.533	4.000	未断	44.90	67.80	21.6	15.8	有明显颈缩， 塑性破坏， 断在近中间处。
XIII-1	11.1	0.9	41.0	0.599	6.296	未断	45.10	68.20	13.3	8.3	断在端部，系 塑性破坏。
XIII-2	11.1	0.9	41.0	0.599	0.097	未断	不明显	70.20	12.5	8.3	断在端部，系 塑性破坏。
XIII-3	11.1	0.9	45.6	0.666	7.925	未断	不明显	68.10	11.7	6.7	断在端部，系 塑性破坏。
XIII-4	11.1	0.9	45.6	0.666	6.076	未断	49.60	70.20	12.5	8.3	断在端部，系 塑性破坏。

根据以上所述，試驗沒有得出实际的疲劳极限，但偏于安全一些可取用以下值：

当 $P=0.8$ 时， $\gamma_a=0.5$ ； $P=0.9$ 时，已达流限故可不考虑疲劳折减。

3) 經冷拉5.5%強化鋼5热軋螺紋鋼筋當 $P \geq 0.7$ 时的疲勞性能

苏联在“預应力鋼筋混凝土結構設計規程（CH10-57）”中不建議采用冷拉强化的鋼筋用于受多次重复荷重的结构中；当有适当技术根据时，可降低强度取用，此时冷拉率对鋼5不得大于5.5%，对25鑄硅不大于3.5%。

本試驗即为檢驗其疲勞性能。

試件直徑取 $\Phi 10$ ，其未經冷拉的原材料之機械性能平均值如下： $\sigma_x=35.4 kg/mm^2$ ； $\sigma_s=58.7 kg/mm^2$ ， $\delta_{10}=24\%$ ， $\delta_s=26\%$ ， $\epsilon_p=22\%$ ，合乎部頒標準。

試件冷拉5.5%，冷拉率用引伸仪控制，冷拉后进行人工时效。把同一根經冷拉并人工时效处理的鋼筋切成二段，一段做靜力試驗，另一段做疲勞試驗。疲勞試驗用的鋼筋端部沒有打光和冷压，試驗數據如表13。

当 $\sigma_{max} > 48.75 kg/mm^2$ 时，夾头打滑，未得到数据，故 $\sigma_{max}=48.75 kg/mm^2$ 尚不能代表疲勞极限值。疲勞試驗后的靜力試驗与一次靜力試驗相比較，由于經過冷拉， σ_x 与 σ_s 间本来就相差很少，因此疲勞試驗后流限就更加不明显；极限强度由于冷强而提高 5~6.5%，此提高值比經冷拉的（見表9，表11）为少。破坏純系塑性，故知鋼筋尚未达

到疲劳。如暂以 48.75 kg/mm^2 为疲劳极限，则得当 $P = 0.7$ 时其 $\gamma_a = 0.83$ 。

冷拉5.5%的钢5螺纹钢筋当 $P = 0.7$ 时的疲劳试验

表 13

试件 编 号	断面积 mm^2	一次 静 力 試 驗					疲 劳 試 驻					疲 劳 試 驻 后 的 静 力 試 驻		断裂情况	
		σ_x kg/mm^2	σ_s kg/mm^2	δ_{10} (%)	δ_5 (%)	ϵ_p (%)	P	σ_{max} kg/mm^2	$\frac{\sigma_{max}}{\sigma_s}$	$N \times 10^6$ (万次/分)	频率 (万次/分)	结果	加工后的直徑 σ_x	σ_s	
AΓ2	72	57.6	60.6	16	20	12	0.7	48.75	0.805	10.02	1	未断	7.2	不明显	64.5 断在端部，延伸率不正，故未列入，系塑性破坏
AB2	72	54.6	60.8	17	21	13	0.7	48.75	0.803	11.11	1	未断	7.3	不明显	64 断在端部，延伸率不正，故未列入，系塑性破坏
AA2	72	—	—	—	—	—	0.7	48.75	0.83	10.92	1	未断	—	—	—
CB4	200	54.27	58.6	14.4	18.5	10.3	0.7	40	0.683	10.58	1.15	未断	—	—	—

4) 經冷拉3.5%强化的25锰硅热轧螺纹钢筋当 $P \geq 0.7$ 时的疲劳性能

試件直徑为12mm，其靜力力学性能平均值如表14。疲劳試驗結果見表15。

直徑12mm、徑冷拉3.5%的25锰硅螺纹钢筋静力力学性能

表 14

σ_x (kg/mm^2)	σ_s (kg/mm^2)	δ_{10} (%)	δ_5 (%)
64.4 (-3~-+4.1%)	71.1 (-1.6~-+3.4%)	17.2	24.4

表15中所有断裂的試件都断在夹头边，这不能反映鋼筋的实际抗疲劳性能，因为鋼筋在正常的工作条件下一般沒有象夹头边缘那样的应力集中現象。

当 $P = 0.7$ 时， $\Theta\Gamma 1$ ， $\Theta\Gamma 2$ ， $\Theta\Delta 2$ 和 $\Theta H 1$ 四根試件的 σ_{max} 相同，后三根在重复977.2~1019万次均未断；而 $\Theta\Gamma 1$ 試件在重复仅115.8万次时就断在夹头边，而不是断在試件中部，显然不是鋼材的实际疲劳强度。同样情况也发生在第XI組試件及IX-3試件中。

疲劳試驗中未破坏的試件再做靜力試驗，其結果如表16。

由表15和表16可以看到， Θ 組、 IX 組、 X 組的試件其强度都因重复荷載的冷强作用而有所提高，而相对延伸率有所下降，但还系塑性破坏，仍保持足够的 δ_{10} 。 XI 組試件完全沒有流限，靜力强度极限因夹头处鋼筋断面减少（有疲劳裂縫）而降低， $\delta_{10} = \epsilon_p$ （完全沒有縮頸），断头处有疲劳裂縫形成的光滑面，所有这些都是夹头边的鋼材已到达疲劳极限的标志，但如上述，夹头边鋼材疲劳并不能說明試件中間部分的疲劳。試件 $XI-1$ 至 $XI-3$ 破坏純系塑性，完全沒有达到疲劳状态，其强度之所以降低，是因为端部夹持处螺紋打光而致断面减少，但未予滾压强化，故当以原来鋼筋断面計算时其 σ_x 、 σ_s 值就低了。降低不是由于疲劳裂縫削弱断面、而是由于打光螺紋而减少断面积，因此未达到疲劳极限。

直徑Φ12的經冷拉3.5%的25號硅鐵鋼筋疲勞試驗

表 15

試件編號	ρ	疲 劳 試 驗			斷面積 F (mm^2)	斷裂情況
		$\sigma_{n,ax}$ (kg/mm^2)	$\frac{\sigma_{max}}{\sigma_0}$	重複次數 $N \times 10^4$ (次)		
ЭБ1	0.7	62.00	0.866	131.9	1.1	98
ЭГ1	0.7	62.00	0.866	68	1.5	98
ЭЕ2	0.7	62.00	0.866	80	1.1	98
ЭН2	0.7	62.00	0.866	115	1.1	98
ЭГ1	0.7	60.00	0.838	115.8	1.15	98
ЭГ2	0.7	60.00	0.838	977.2	1.2	98
ЭБ2	0.7	60.00	0.838	1007	1.1	98
ЭН1	0.7	60.00	0.838	1019	1.1	98
ХБ2	0.7	58.00	0.828	1296.5	1.1	100
ЭГ2	0.7	55.00	0.768	1018.7	1.1	98
ЭВ1	0.7	50.00	0.768	928.8	1.1	98
И-1	0.8	46.15	0.644	400	1.1	93.1
И-2	0.8	53.10	0.741	491.4	1.1	94.5
И-1	0.8	55.40	0.774	483.8	1.1	93.1
И-2	0.8	55.40	0.774	541.4	1.1	96.4
И-3	0.8	55.40	0.774	400	1.1	95.4
ИI-1	0.8	65.15	0.91	727.3	1.1	94
ИI-2	0.8	65.70	0.91	600.8	1.1	97.1
ИI-3	0.8	65.60	0.916	563.5	1.1	95.8
И-3	0.8	65.10	0.908	373.1	1.1	93.1
III-1	0.9	58.10	0.811	648.8	1.1	97.1
III-2	0.9	58.10	0.811	675.6	1.1	96
III-3	0.9	58.10	0.911	583.2	1.1	95.5

直徑Φ12的冷拉25號硅熱軋螺紋鋼筋疲勞試驗后的靜力試驗

表 16

試件編號	ρ	σ_x kg/mm^2	σ_0 kg/mm^2	δ_{10} (%)	δ_5 (%)	δ_p (%)	斷 裂 情 况
ЭГ2	0.7	不明显	76	14.4	19	9.8	塑性破坏
ЭБ2	0.7	73.20	79	13.5	20	7	塑性破坏
И-1	0.8	66	73	13.3	未量	6.7	塑性破坏，靠近夹头处断，有明显缩颈
И-2	0.8	67.6	73.8	14.2	未量	8.3	塑性破坏，靠近夹头处断，有明显缩颈
И-2	0.8	65.1	72.1	15.8	未量	11.7	塑性破坏，断在中间，有明显缩颈
И-3	0.8	65.6	72.8	16.7	未量	11.7	塑性破坏，断在近中间处，稍有缩颈
ИI-1	0.8	无	62.5	4.58	未量	4.58	脆性破坏，断在夹头边缘，有一个光滑面
ИI-2	0.8	无	65.9	2.09	未量	2.09	脆性破坏，断在夹头边缘，有二个光滑面，其中之一产生于钢筋之锈迹处，锈迹已深入钢筋内部
III-1*	0.9	61.8	67	—**	—	—	塑性破坏，断在夹头打光处
III-2*	0.9	60.4	67.7	—**	—	—	塑性破坏，断在夹头打光处
III-3*	0.9	不明显	68	—**	—	—	塑性破坏，断在夹头打光处

* 为使螺纹不损伤夹具，試件III-1至III-3的端部打光，但未予滚压；

** 由于試件断在夹头打光处，无法量得；

注：疲勞試驗后作靜力試驗时，除ЭГ2及ЭБ2二個試件分別加工成直徑为9毫米的标准型試件外，其他試件都是原件。

表16中 $\rho = 0.9$ 时 σ_{max} 所取值比 $\rho = 0.7$ 及 0.8 时低，事实上應該比較高；但由以上分析，当 $\rho = 0.8$ 时其 σ_{max} 已到达流限，大于流限值无实际意义，因此可取流限为疲劳极限，所以对冷拉25锰硅钢筋试件当 $\rho \geq 0.8$ 时不验算疲劳。

試驗所采用的試件直徑小，为校核大直徑的尺寸影响，在油压傳动的西德罗生豪森（Losenhausen）100 吨交替应力試驗机上，进行三根Φ32冷拉3.5% 并經人工时效处理的粗直徑25锰硅钢筋试驗。該疲劳試驗机頻率有333、500、666及1000次/分四种，試驗取用500及666次/分，試件用原件， ρ 取0.8。

由于夹头处应力集中，所有試件都在夹头边缘处断，粗-1試件由于位置不在正中，有偏心，因之断裂时重复次数特別短；粗-2及粗-3試件安放得很仔細，故大有好轉。为节约時間，試件第一次在夹头处断了以后，重新夹正后繼續进行試驗，目的是要使其断在中間。粗-1 試件在夹头处断了二次以后，由于剩下的部分过短，故沒有再繼續做下去。后二試件重复次数分別达到346万及551万次，沒在試件中間断裂，其中連續加荷的次数分別也有266万及346万次。試件在夹头边断了一次或二次，剩下部分的长度不足10倍試件直徑长，因之动荷后靜力拉断时不能測出相对延伸率。試驗数据如表17所示。

直徑Φ32經冷拉3.5%的25锰硅螺紋鋼筋的動載試驗

表 17

試 件 編 號	折 算 直 徑 (mm)	一次靜力試驗平均值			動 載 試 驗						動載試驗後靜力試驗				
		σ_x (kg/ mm ²)	σ_s (kg/ mm ²)	δ_{10} %	ρ	σ_{max} (kg/ mm ²)	$\frac{\sigma_{max}}{\sigma_s}$	重複次數N × 10 ⁶			動載試驗後靜力試驗				
		第一次	第二次	共計				σ_x 静載 (kg/ mm ²)	動載 % 靜載	σ_s 静載 (kg/ mm ²)	動載 % 靜載	δ_{10}			
粗-1	30.95	58.6	67.1	13.4		40.8	0.742	0.48 斷在 夾頭邊	0.5 斷在 夾頭	0.98	58.5	100	66.4	99.2	試件過 短未量
粗-2	30.95	58.4	66.8	13.4	0.8	46.7	0.698	2.66 斷在 夾頭邊	0.8 斷在 夾頭	3.46	58.7	100.5	65.4	98	
粗-3	30.60	58.4	66.8	13.4		46.7	0.698	2.05 斷在 夾頭邊	3.46 斷在 夾頭	5.51	59.7	102	67.9	101.8	

断裂情况：粗-1 动载試驗下二次均断在夹头边缘；动载試驗后的靜力拉断系塑性破坏，有极明显縮頸。

粗-2 动载試驗下二次都断在夹头边缘；动载后靜力試驗系塑性破坏，有极明显縮頸，断在夹头边缘打光处。

粗-3 动载試驗第一次断在夹头边缘，第二次未断；动载后靜力試驗系塑性破坏，有极明显縮頸。

从动载試驗后的靜力試驗来看，試件本身并未达到疲劳极限，疲劳极限还有可能提高。如照所得 σ_{max} (46.7 kg/mm²) 取，则由粗-2及粗-3試件可得 $\rho = 0.8$ 时其疲劳折減系数 $\gamma_a > 0.7$

当 $\rho = 0.7$ 时，由小直徑取其 $\sigma_{max} = 60 \text{ kg/mm}^2$ ，得 $\gamma_a = 0.84$ 。

考慮到粗直徑鋼筋的試驗資料尚待進一步补充，故建議：当 $0.8 > \rho \geq 0.7$ 时，取 $\gamma_a = 0.7$ ；当 $0.9 > \rho \geq 0.8$ 时， $\gamma_a = 0.8$ ；当 $\rho \geq 0.9$ 时不驗算疲劳。

5) 冷拉对鋼 5 及25锰硅热轧螺紋鋼筋疲劳性能的影响